

**Zeitschrift:** Technische Mitteilungen / Schweizerische Post-, Telefon- und Telegrafienbetriebe = Bulletin technique / Entreprise des postes, téléphones et télégraphes suisses = Bollettino tecnico / Azienda delle poste, dei telefoni e dei telegrafi svizzeri

**Herausgeber:** Schweizerische Post-, Telefon- und Telegrafienbetriebe

**Band:** 51 (1973)

**Heft:** 2

**Artikel:** Ein vollständig integrierter Raumvielfach-Koppelpunkt

**Autor:** Marti, Peter / Lamoth, Michael

**DOI:** <https://doi.org/10.5169/seals-875279>

### **Nutzungsbedingungen**

Die ETH-Bibliothek ist die Anbieterin der digitalisierten Zeitschriften auf E-Periodica. Sie besitzt keine Urheberrechte an den Zeitschriften und ist nicht verantwortlich für deren Inhalte. Die Rechte liegen in der Regel bei den Herausgebern beziehungsweise den externen Rechteinhabern. Das Veröffentlichen von Bildern in Print- und Online-Publikationen sowie auf Social Media-Kanälen oder Webseiten ist nur mit vorheriger Genehmigung der Rechteinhaber erlaubt. [Mehr erfahren](#)

### **Conditions d'utilisation**

L'ETH Library est le fournisseur des revues numérisées. Elle ne détient aucun droit d'auteur sur les revues et n'est pas responsable de leur contenu. En règle générale, les droits sont détenus par les éditeurs ou les détenteurs de droits externes. La reproduction d'images dans des publications imprimées ou en ligne ainsi que sur des canaux de médias sociaux ou des sites web n'est autorisée qu'avec l'accord préalable des détenteurs des droits. [En savoir plus](#)

### **Terms of use**

The ETH Library is the provider of the digitised journals. It does not own any copyrights to the journals and is not responsible for their content. The rights usually lie with the publishers or the external rights holders. Publishing images in print and online publications, as well as on social media channels or websites, is only permitted with the prior consent of the rights holders. [Find out more](#)

**Download PDF:** 28.08.2025

**ETH-Bibliothek Zürich, E-Periodica, <https://www.e-periodica.ch>**

*Zusammenfassung. Die Anforderungen konventioneller Telephonie-Vermittlungssysteme an den Koppelpunkt sind für eine wirtschaftliche vollelektronische Lösung zu umfangreich. Es wird gezeigt, dass man durch Verlagerung der Probleme trotzdem elektronische Koppelpunkte, sogar in integrierter Technik, einsetzen kann. Die übertragungstechnischen Bedingungen werden beleuchtet. Die beiden vorgestellten Lösungen, eine mit diskreten Komponenten, die andere in integrierter Bauweise, erfüllen die Anforderungen für Telephonie-Hauszentralen.*

**Point de couplage entièrement intégré utilisé en commutation spatiale**

*Résumé. Les exigences imposées aux points de couplage dans les installations conventionnelles de commutation téléphonique sont telles que leur réalisation sous forme entièrement électronique n'est pas rentable. L'auteur montre qu'en transposant les problèmes il devient possible d'avoir recours à des points de couplage électroniques, même en technique intégrée. Les conditions de technique de transmission sont exposées. Les deux solutions proposées, l'une faisant appel à des éléments discrets, l'autre à des circuits intégrés remplissent les conditions requises pour les centraux téléphoniques domestiques.*

**Un punto d'accoppiamento interamente integrato utilizzato nella commutazione spaziale**

*Riassunto. Le esigenze richieste dai punti d'accoppiamento nei sistemi telefonici convenzionali sono troppo estesi per una realizzazione interamente elettronica vantaggiosa. L'autore dimostra che mediante lo spostamento del problema si possono, ciò nonostante, impiegare punti d'accoppiamento perfino nella tecnica integrata. Si illustrano le condizioni tecniche di trasmissioni che ne derivano. Le due soluzioni proposte, l'una costituita da componenti discreti, l'altra da elementi integrati, soddisfano alle richieste dei centralini telefonici.*

**1. Anforderungen und Lösungsmöglichkeiten für einen elektronischen Raumvielfach-Koppelpunkt**

**1.1 Einleitung**

Die Vermittlungstechnik nützt die Vorteile der Halbleiterbauelemente seit über zehn Jahren aus. Zuerst wurden in bestehenden Anlagen röhrenbestückte und elektromechanische Schaltungen, wie Verstärker, Signalgeneratoren und Taktgeber, ersetzt. In neueren Systemen profitierte vor allem der Steuerteil von den höheren Arbeitsgeschwindigkeiten elektronischer Bauelemente, was zu höherer Konzentration der Steuerstromkreise führte.

Betrachtet man das Durchschaltenetzwerk neuerer und neuester Vermittlungssysteme (Fig. 1), die nach dem Prinzip des Raumvielfachs arbeiten und Fertigungsreife erlangt haben, so fällt auf, dass durchwegs metallische Kontakte gewählt wurden. Dass Halbleiterbauelemente hier sehr spärlich eingesetzt werden, liegt in den zum Teil hohen technischen Anforderungen begründet.

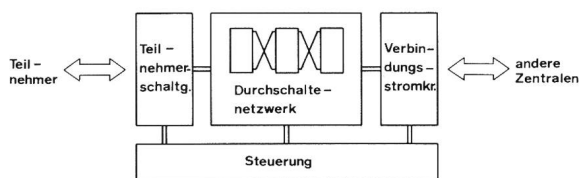


Fig. 1  
Blockschema einer Zentrale

Tabelle I gibt eine Übersicht über die hauptsächlichsten Eigenschaften eines Koppelpunktes für Telephonie-Durchschaltenetzwerke, wenn man im wesentlichen das Konzept bekannter, in Betrieb stehender Anlagen zugrunde legt.

Die Punkte 1...3 ergeben sich aus den Qualitätsanforderungen für Gesprächsverbindungen, während die Punkte

Tabelle I. Anforderungen an einen Koppelpunkt in konventionellen Durchschaltenetzwerken

1 niedriger, stabiler Durchlasswiderstand $r_d (< 1 \Omega)$	übertragungstechnisch
2 hohe Sperrimpedanz ( $> 100 M\Omega$ )	bedingt
3 verzerrungsfrei für tonfrequente Signale bis einige V	
4 geeignet, den Speisestrom für den Teilnehmerapparat zu übertragen	
5 Geeignet, die Rufenergie (30 mA, 70 V, 25 Hz) zu übertragen	systembedingt
6 Unempfindlichkeit gegen Überspannungen	

4...6 systembedingte Forderungen sind. Es sind nun gerade die systembedingten Forderungen, die der Entwicklung eines wirtschaftlichen elektronischen Koppelpunktes im Wege stehen. Wenn heute ein elektronischer Koppelpunkt eingesetzt werden soll, müssen unseres Erachtens diese Forderungen entfallen, das heisst sie müssen mit umgekehrten Vorzeichen als Forderungen im System berücksichtigt werden. Dies könnte unter Umständen bewirken, dass nicht für alle Arten von Vermittlungsanlagen ein konkurrenzfähiges System gefunden werden kann.

Die folgenden Betrachtungen beziehen sich auf einen Koppelpunkt, der sich in Hauszentralensystemen einsetzen lässt. Um die in Tabelle I enthaltenen Forderungen für den Koppelpunkt gegenstandslos zu machen, bietet sich folgende Lösungsmöglichkeit an:

- galvanische Trennung zwischen Teilnehmerleitung und Durchschaltenetzwerk
- Begrenzung der Signalspannung am Eingang des Durchschaltenetzwerkes
- Einspeisung des Schlaufengleichstroms in der Teilnehmerschaltung

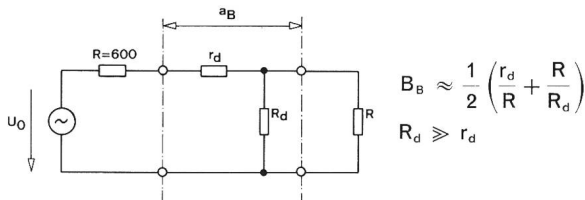


Fig. 2 Vereinfachtes Ersatzschema zur Berechnung der Durchlassdämpfung eines Koppelpunktes

- Verwendung eines Teilnehmerapparates mit Tonfrequenz-Niederpegel-Ruf oder Einspeisung der Rufenergie in der Teilnehmerschaltung

## 1.2 Übertragungstechnische Gesichtspunkte

### 1.2.1 Einfügungsdämpfung

In Hauszentralen soll die Dämpfung einer Hausverbindung zwischen 0,6...0,8 Neper, und die einer Amtsverbindung weniger als 0,1 Neper betragen. Die Hausverbindung lässt sich mit einem Dämpfungsglied im Verbindungsstromkreis auf ihren Wert bringen. Die Amtsverbindung hingegen verlangt sehr dämpfungsarme Koppelpunkte. Wenn man beispielsweise annimmt, dass die Übertrager 0,05 Neper dämpfen, verbleiben für die Einfügungsdämpfung sämtlicher an der Verbindung beteiligter Koppelpunkte ebenfalls 0,05 Neper. Dieser Wert teilt sich auf in die dämpfende Wirkung der differentiellen Seriewiderstände  $r_d$  und der Ableitung  $R_d$  aller Koppelpunkte (Fig. 2). Je nach Grösse und Konzept des Durchschaltenetzwerkes können ein bis etwa acht Koppelpunkte an einer Verbindung beteiligt sein.

### 1.2.2 Nebensprechdämpfung

Die Figuren 3 und 4 zeigen die Kopplungsverhältnisse zwischen zwei Verbindungen in einer Stufe eines Durchschaltenetzwerkes. Die Koppelung zwischen zwei gleichzeitig bestehenden Verbindungen entsteht innerhalb des Durchschaltenetzwerkes im wesentlichen durch die endliche Sperrimpedanz  $Z_s$  der Koppelpunkte. Von der Grösse der Koppelpunkte unabhängig liegen immer zwei Sperrimpedanzen parallel zwischen der störenden und der gestörten Verbindung. Abhängig von der Stufengrösse liegen jeweils zwei in Serie geschaltete Sperrimpedanzen  $(x-2)$  mal auf der Zeile und  $(y-2)$  mal auf der Kolonne parallel zwischen den Leitungen. Diese letztere Koppelung wird allerdings durch die aussenliegenden Anschlussimpedanzen  $Z_A$  vermindert. Wenn  $Z_s$  genügend hoch ist, kann  $Z_A$  so gewählt werden, dass die Grösse der Stufe praktisch keinen Einfluss mehr auf die Nebensprechdämpfung hat, ohne dass  $Z_A$  die Durchlassdämpfung wesentlich beeinträchtigt. Koppelungen über mehr als zwei in Serie liegende gesperrte Koppelpunkte werden nicht berücksichtigt.

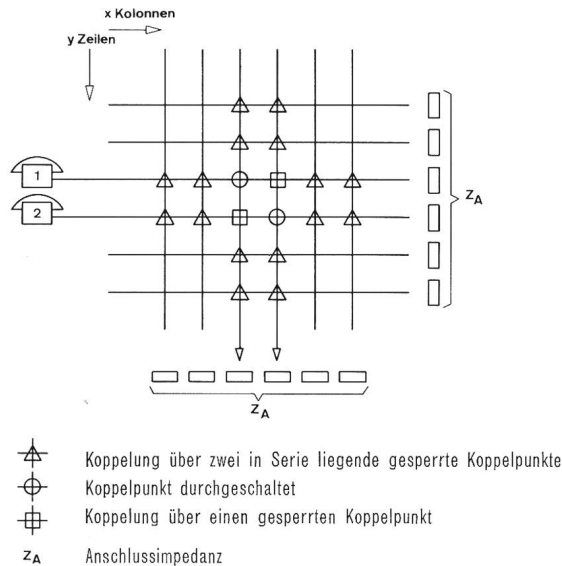
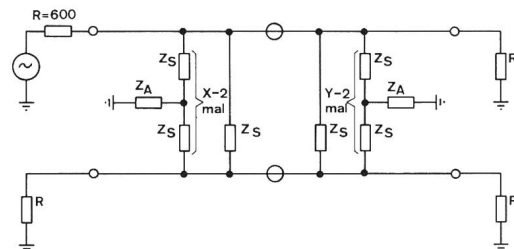


Fig. 3 Koppelungssituation zwischen zwei Verbindungen in einer Stufe des Durchschaltenetzwerkes

Als Beispiel sei folgender Fall erwähnt: Die Sperrimpedanz  $Z_s$  des Koppelpunktes betrage 100 M $\Omega$ . Die Verbindung verlaufe so, dass in drei Stufen ein Nebensprechen auftritt. Die Nebensprechdämpfung des Durchschaltenetzwerkes allein beträgt dann etwa 95 dB, was als gut bezeichnet werden kann. Die Forderung der PTT für die ganze Verbindung beträgt 9 Neper (78 dB).<sup>1</sup>

Bei der Beantwortung der Frage, ob der Koppelpunkt eindrätig (asymmetrisch) oder zweidrätig (symmetrisch) gebaut werden soll, spielen die Nebensprechforderungen ebenfalls eine Hauptrolle. Es sei vermerkt, dass ein gemeinsamer Widerstand von etwa 130 m $\Omega$  zweier Verbindungen eine Nebensprechdämpfung von 9 Neper ergibt. Dieser Wert liegt in der Grössenordnung von Steckerübergangs-



$Z_A$  Anschlussimpedanz  
 $Z_S$  Sperrimpedanz eines Koppelpunktes

Fig. 4 Ersatzschema für die Koppelung zwischen zwei Verbindungen in einer Stufe des Durchschaltenetzwerkes

<sup>1</sup> Unsere Messresultate werden in dB angegeben, entsprechend einem Beschluss des CCITT (1968). Die PTT-Vorschriften lauten vorläufig noch in Neper.

widerständen. Dieser und weitere systembedingte Gründe veranlassten die *Hasler AG* dazu, sich mit einem zweidrähtigen symmetrischen Koppelpunkt zu befassen.

## 2. Transistorisierter Koppelpunkt in diskreter Technik

Wie aus Schema *Figur 5* ersichtlich ist, werden die beiden Schalttransistoren des symmetrischen Koppelpunktes über hochohmige Basiswiderstände angesteuert, um damit die Signalableitung klein zu halten. Als Folge davon muss die Speisespannung  $U_E$  verhältnismässig hoch mit  $-24\text{ V}$  gewählt werden. Die Kapazität  $C$  dient als temporärer Speicher für den Schaltzustand. Die Ansteuerung erfolgt mit Zeilen- und Spaltenimpulsen über eine Steuermatrix. Die Steuerimpulse mit einer Dauer von  $\sim 10\ \mu\text{s}$  werden periodisch wiederholt, um die Ladung der Kapazität zu erneuern. Dieser Koppelpunkt wurde erfolgreich in einer Versuchsanlage eingesetzt.

Gemessene Werte: Einfügungsdämpfung 0,2 dB  
Sperrimpedanz bei 1600 Hz 300 M $\Omega$

## 3. Monolithisch integrierter Koppelpunkt

Die Idee, den Koppelpunkt zu integrieren, liegt nahe, wenn man die hohen Stückzahlen berücksichtigt, die in einem Raumvielfach-Vermittlungssystem benötigt werden.

Die von anderen Firmen entwickelten integrierten Koppelpunkte verwenden im allgemeinen als Durchschaltelement Vierschicht-Dioden [1], [2], deren elektrische Eigenschaften die Anforderungen annähernd erfüllen (Durchschaltewiderstand 5...10  $\Omega$ , Sperrwiderstand  $> 100\text{ M}\Omega$  für Hauszentralen).

Unsere monolithisch integrierte Koppelpunktschaltung ist in Bipolar-Technik ausgeführt. Ihre Ansteuerung ist sowohl TTL- als auch DTL-kompatibel. Die Durchschaltung geschieht wie in *Figur 5* durch Transistoren. In der praktischen Ausführung sind vier zweidrähtige Koppelpunkte auf einem chip vereinigt, in einem dual-in-line-Plastikgehäuse mit 14 Anschlussstiften untergebracht.

Das Schema von *Figur 5* wurde nach den technologischen Erfordernissen monolithisch integrierter Schaltungen abgeändert:

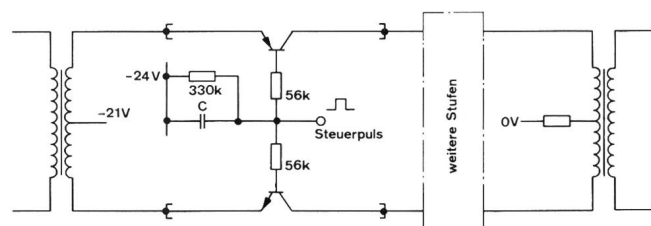


Fig. 5  
Schema eines transistorisierten, mit diskreten Komponenten aufgebauten Koppelpunktes

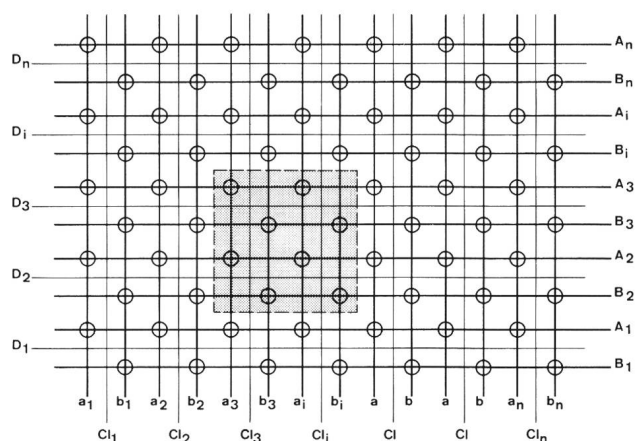


Fig. 6  
Prinzipschema einer zweidrähtigen Koppelmatrix mit Ansteuerung

- Ersatz des Speicherkondensators durch ein flip-flop
- Wahl einer niedrigeren Speisespannung
- Ersatz des hochohmigen Basiswiderstandes durch eine Stromquelle.

### 3.1 Beschreibung der Schaltung

In *Figur 6* ist schematisch eine zweidrähtige Koppelmatrix dargestellt. Die Teilnehmer sind an die «vertikalen» Leitungen  $a_i$  und  $b_i$  sowie an die «horizontalen» Leitungen  $A_i$  und  $B_i$  angeschlossen. Eine zweite Matrix, bestehend aus den Leitungen  $D_i$  und  $Cl_i$ , dient der Ansteuerung der Koppelpunkte.

*Figur 7* zeigt das Prinzipschema des integrierten Koppelpunktes. Als Durchschaltelemente werden die zwei Transistoren  $T_{101}$  und  $T_{102}$  verwendet. Damit im durchgeschalteten Zustand möglichst wenig Signal gegen die Erde abfliesst, werden die Basisströme der Schalttransistoren  $T_{101}$  und  $T_{102}$  durch je eine Stromquelle geliefert. Im gesperrten Zustand leiten die Transistoren  $T_6$  und  $T_7$  die Ströme der Stromquellen und die Kollektor-Basis-Sperr-

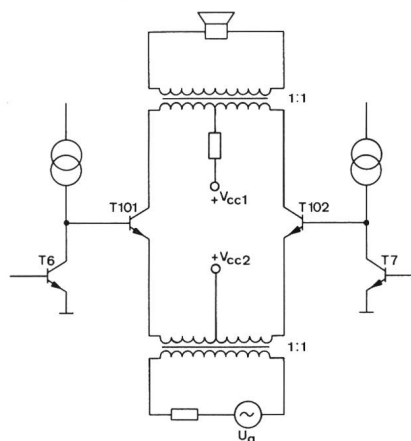


Fig. 7  
Prinzipschema des integrierten Koppelpunktes

ströme von T 101 und T 102 gegen Erde ab. Auf diese Weise erreicht man einen kleinen Durchlasswiderstand und eine hohe Sperrdämpfung.

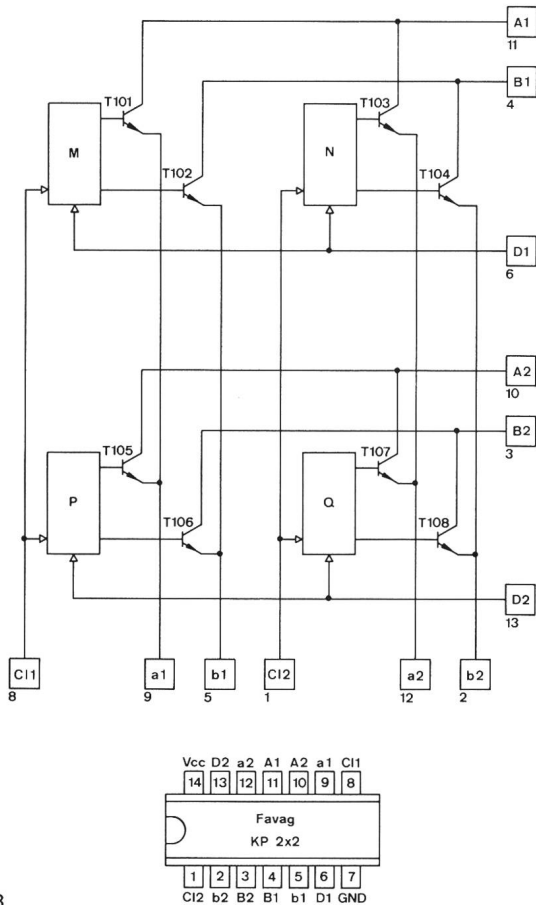


Fig. 8  
Blockschema der integrierten Schaltung, mit Bezeichnung der Anschlüsse

In Fig. 8 ist das Blockschema der integrierten Schaltung dargestellt. Die Signale werden mit Übertrager über die Eingänge  $a_i$  und  $b_i$ , beziehungsweise  $A_i$  und  $B_i$  durchgeschaltet. Jedem Paar Durchschalttransistoren wird als Steuereinheit ein D-flip-flop (FF) zugeordnet. Bei gleichzeitigem Anlegen eines Steuersignals an die Eingänge  $D_i$  und  $C_i$  der FF werden die entsprechenden Schalttransistoren vom sperrenden in den leitenden Zustand übergeführt.

In Fig. 9 ist das Schaltschema eines einzigen Koppelpunktes dargestellt. Neben dem D-FF finden wir die schon erwähnten Stromquellen, im wesentlichen bestehend aus je zwei PNP-Lateraltransistoren T 8 und T 9, deren differenzielle Innenwiderstände Werte  $> 100 \text{ k}\Omega$  aufweisen. Die Schaltung ist für eine Speisespannung von 8 V dimensioniert, da das übertragene Signal  $2 V_{\text{eff}}$  beträgt.

Die Verlustleistung der Schaltung liegt bei  $40 \text{ mW/Koppel}$ punkt. Fig. 10 zeigt eine Aufnahme der in der Favag

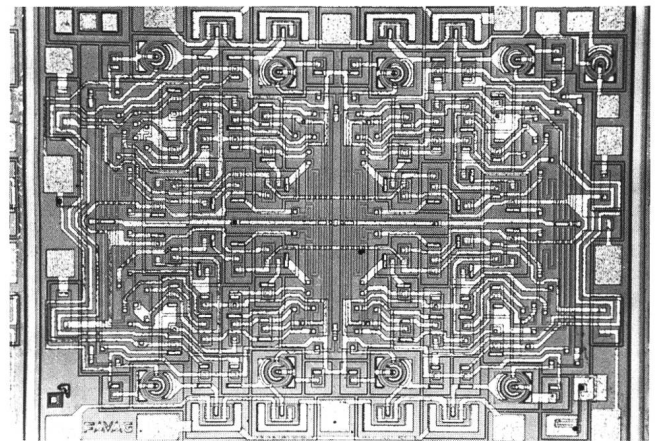


Fig. 10  
Mikroskopische Aufnahme eines chips mit vier Koppelpunkten

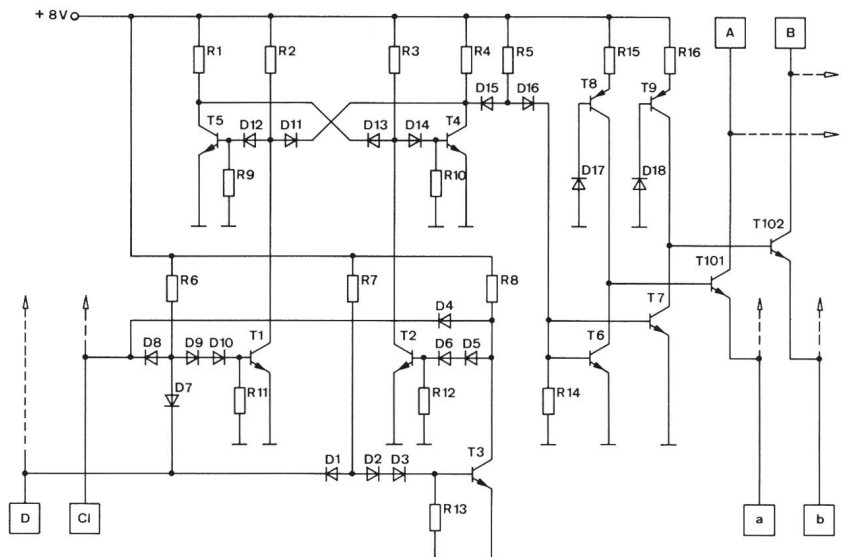


Fig. 9  
Schaltschema eines Koppelpunktes mit Ansteuerung

Bevaix entwickelten und fabrizierten Koppelpunkte. Auf einem Siliziumplättchen der Abmessung  $2,2 \times 1,7$  mm befinden sich 180 Komponenten, wovon 120 aktive. Die kleine Schaltungsgeometrie verlangt eine sorgfältige Leiterführung im IC, damit nicht durch unkompensierte kapazitive Koppelung die Sperrimpedanz und damit das Nebensprechverhalten verschlechtert wird. Die Durchlassdämpfung ist besser, als die des mit diskreten Komponenten aufgebauten Koppelpunktes, weil die Signableitung an der Basis der Schalttransistoren vernachlässigbar klein ist.

### 3.2 Gemessene elektrische Eigenschaften des Koppelpunktes KP 2X2

Durchlassdämpfung  $< 0,2$  dB  
Sperrdämpfung  $> 100$  dB

Nebensprechen zwischen zwei durchgeschalteten Verbindungen  $> 100$  dB

Es wurden Sperrimpedanzen von  $300 \text{ M}\Omega$  bei 1600 Hz gemessen.

### Bibliographie

- [1] 4x4 solid state two wire crosspoint switch MCBH 7601. Motorola-Broschüre, November 1971. (MCBH = Motorola beam lead hybrid circuit)
- [2] Semiconductor switching arrangement. English Patent specification 1237 586/1971 (Philips).

*Adresse der Autoren:* Peter Marti, Ing. HTL, Hasler AG, CH-3000 Bern, und Michael Lamothe, dipl. Ing. ETH, Favag SA, CH-2022 Bevaix.